



# БИООРГАНИЧЕСКАЯ ХИМИЯ

том 2 \* № 9 \* 1976

УДК 547.963.32 + 543.422.25

## ОБРАТИМОЕ БЛОКИРОВАНИЕ МЕЖНУКЛЕОТИДНЫХ ФОСФОДИЭФИРНЫХ ГРУПП С ПОМОЩЬЮ ДИЦИКЛОГЕКСИЛКАРБОДИИМИДА

Зарытова В. Ф., Иванова Е. М., Лебедев А. В.

Институт органической химии Сибирского отделения  
Академии наук СССР, Новосибирск

Методом импульсной спектроскопии  $^{31}\text{P}$ -ЯМР показано образование N-(P-5'-O-триптилтимидин-P-3'-O-ацетилтимидин-5')-фосфорил-N,N'-дициклогексилмочевины (I) и N-(P-5'-O-триптилтимидин-P-тимидин-5')-фосфорил-N,N'-дициклогексилмочевины (II) при взаимодействии N,N'-дициклогексилкарбодиимида соответственно с  $(\text{Tr})\text{T}_{\text{d}}\text{pT}_{\text{d}}(\text{Ac})^*$  и  $(\text{Tr})\text{T}_{\text{d}}\text{pT}_{\text{d}}$ . Показана устойчивость соединений (I) и (II) в процессе синтеза олигонуклеотидов, найдены мягкие условия (водный пиридин) удаления остатка дициклогексилмочевины с количественным превращением соединений (I) и (II) в  $(\text{Tr})\text{T}_{\text{d}}\text{pT}_{\text{d}}(\text{Ac})$  и  $(\text{Tr})\text{T}_{\text{d}}\text{pT}_{\text{d}}$ . Соединение (II) использовано в качестве нуклеозидного компонента в реакции с  $\text{pT}_{\text{d}}(\text{Ac})$  и  $\text{pT}_{\text{d}}\text{pT}_{\text{d}}(\text{Ac})$  с применением дициклогексилкарбодиимида, а также в реакции с этими же нуклеотидными компонентами, предварительно активированными с помощью триизопропилбензольсульфохлорида. При этом с высоким выходом (70—90%) получены  $(\text{Tr})\text{T}_{\text{d}}\text{pT}_{\text{d}}\text{pT}_{\text{d}}(\text{Ac})$  и  $(\text{Tr})\text{T}_{\text{d}}\text{pT}_{\text{d}}\text{pT}_{\text{d}}\text{pT}_{\text{d}}(\text{Ac})$ .

При синтезе олигонуклеотидов диэфирным методом в качестве нуклеотидного компонента используются мононуклеотиды или короткие олигонуклеотиды, которые при взаимодействии с конденсирующими агентами (триизопропилбензольсульфохлоридом или дициклогексилкарбодиимидом) образуют высокореакционноспособные фосфорилирующие производные [1—3]. Наличие фосфодиэфирных групп позволяет использовать ионообменную хроматографию для отделения продукта на каждой стадии синтеза. Однако, как показали исследования механизма олигонуклеотидного синтеза [4], фосфодиэфирные группы участвуют в ряде побочных реакций. При использовании в качестве конденсирующих агентов арилсульфохлоридов с близкими скоростями образуются активные производные как по моноэфирной, так и по диэфирным группам нуклеозидного компонента. В последнем случае это приводит к образованию тетразамещенных пирофосфатов [4], которые, являясь активными фосфорилирующими соединениями, могут образовывать триэфиры, способные далее гидролизоваться статистически, т. е. и по межнуклеотидным связям [5]. Кроме того, фосфодиэфирные группы нуклеозидного компонента значительно более нуклеофильны, чем оксигруппа того же компонента, и именно они в первую очередь реагируют с промежуточными фосфорилирующими производными нуклеотидного компонента. Поэтому для образования но-

\* Сокращения приведены в соответствии с рекомендацией IUPAC — IUB (1971).  
J. Mol. Biol., 55, 299; например,  $(\text{Tr})\text{T}_{\text{d}}$  — 5'-O-триптилтимидин.

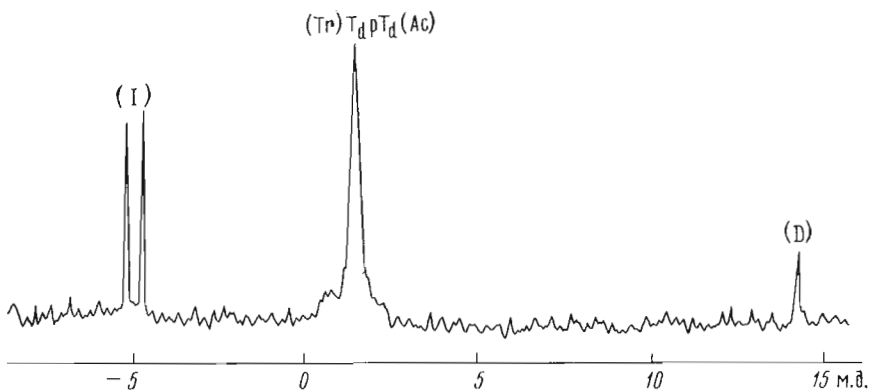
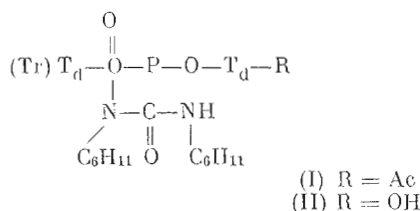


Рис. 1. Спектр  $^{31}\text{P}$ -ЯМР реакционной смеси, полученной через 52 мин после обработки  $(\text{Tr})\text{T}_d\text{pT}_d(\text{Ac})$  (0,12 М) 10 эквивалентами дициклогексилкарбодимида

вых фосфодиэфирных связей приходится использовать большие избытки активированного нуклеотидного компонента [6].

Эти затруднения могут быть преодолены обратимым блокированием межнуклеотидных фосфодиэфирных групп нуклеозидного компонента перед каждой стадией конденсации. Использование такого блокирования позволит по-прежнему использовать дизэфирный метод образования межнуклеотидной связи и ионообменную хроматографию для разделения реакционной смеси.

Ранее нами было показано, что при взаимодействии дициклогексилкарбодимида с динуклеозидфосфатом  $(\text{Tr})\text{T}_d\text{pT}_d(\text{Ac})$  образуется соединение (I), у которого межнуклеотидная фосфатная группа блокирована остатком дициклогексилмочевины [3].



При добавлении воды это соединение гидролизуется до исходного  $(\text{Tr})\text{T}_d\text{pT}_d(\text{Ac})$ . Таким образом, обработку нуклеозидного компонента дициклогексилкарбодимиидом можно рассматривать как способ обратимого блокирования фосфодиэфирных групп.

С этой целью в данной работе проведено исследование устойчивости производных дициклогексилмочевины типа (I) и (II) в условиях синтеза олигонуклеотидов и возможности их использования в качестве нуклеозидного компонента.

При взаимодействии  $(\text{Tr})\text{T}_d\text{pT}_d(\text{Ac})$  с 10 эквивалентами дициклогексилкарбодимида в пиридине в спектрах  $^{31}\text{P}$ -ЯМР помимо сигнала исходного  $(\text{Tr})\text{T}_d\text{pT}_d(\text{Ac})$  ( $\delta$  1,3 м.д.) регистрируются сигналы  $\text{P}^1$ ,  $\text{P}^2$ -бис-(5'-О-тритилтимидин)- $\text{P}^1$ ,  $\text{P}^2$ -бис-(3'-О-ацетилтимидин-5')-пироfosфата (D) ( $\delta$  13,8 м.д.) и сигналы соединения (I) ( $\delta$  —4,8 и —5,2 м.д.) (рис. 1). Наличие двух сигналов для соединения (I) обусловлено существованием двух его диастереомерных форм [7, 8]. Как видно из кинетических кривых (рис. 2), количество соединения (D) не превышает 15 %, в то время как соединение (I) становится главным продуктом превращения (~85 %) уже через 8 ч реакции. Через 50 ч реакционная смесь (смесь I) содержит 98 % соединения (I) и 2 %  $(\text{Tr})\text{T}_d\text{pT}_d(\text{Ac})$ .

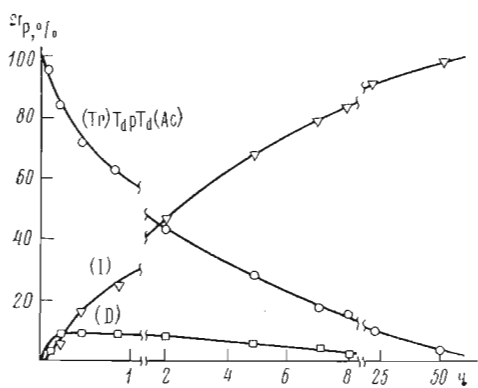


Рис. 2

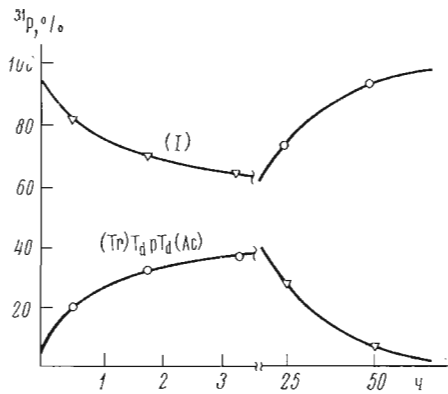


Рис. 3

Рис. 2. Кинетические кривые взаимодействия  $(Tr)TdpTd(Ac)$  (0,12М) с 10 эквивалентами дициклогексилкарбодиимида

Рис. 3. Кинетические кривые взаимодействия соединения (I), (0,1 М) со 100 эквивалентами воды в пиридине

Далее была исследована устойчивость соединения (I) в условиях синтеза олигонуклеотидов, а также возможность удаления остатка дициклогексилмочевины в мягких условиях. Устойчивость соединения (I) исследовали в присутствии триизопропилбензолсульфохлорида (конденсирующего агента), триизопропилбензолсульфокислоты (побочного продукта конденсации), активного производного мононуклеотида (B) (электрофильного реагента) [3], алифатических аминов (нуклеофильных реагентов, более сильных, чем оксигруппа нуклеозидного компонента). Полученные результаты (табл. 1) свидетельствуют о том, что производное дициклогексилмочевины (I) в течение длительного времени не вступает во взаимодействие ни с одним из исследованных реагентов, т. е. оно устойчиво в условиях синтеза олигонуклеотидов.

Далее нами было исследовано удаление защитной группы в мягких условиях. Из рис. 3 видно, что добавление воды к реакционной смеси, содержащей соединение (I), дициклогексилкарбодиимид и дициклогексилмочевину, и выдерживание смеси при комнатной температуре приводит к практически количественному отщеплению остатка дициклогексилмоче-

Таблица 1

Состав реакционных смесей ( $\%^{31}P$ ), полученных при действии электрофильных и нуклеофильных реагентов на пиридиниевый раствор соединения (I)

Добавляемый реагент	Время реакции, ч	Соединение (I)	$(Tr)TdpTd(Ac)$	Соединение D
Исходная смесь	0	85	15	—
Триизопропилбензолсульфохлорид, 2 экв.	4	87	—	13
Триизопропилбензолсульфокислота, 2 экв.	16	94 *	2	4
Анилин, 45 экв.	16	86	14	—
Морфолин, 65 экв.	16	82	18	—
Циклогексиламин, 40 экв.	16	87	13	—
Соединение (B), 12 экв.	20	90 **	—	—

\* Исходная смесь содержала 90% соединения (I) и 10%  $(Tr)TdpTd(Ac)$ .

\*\* 10%  $^{31}P$  находится в составе тризамещенного пирофосфата, образующегося в результате взаимодействия  $(Tr)TdpTd(Ac)$  с вносимым в реакционную смесь соединением (B).

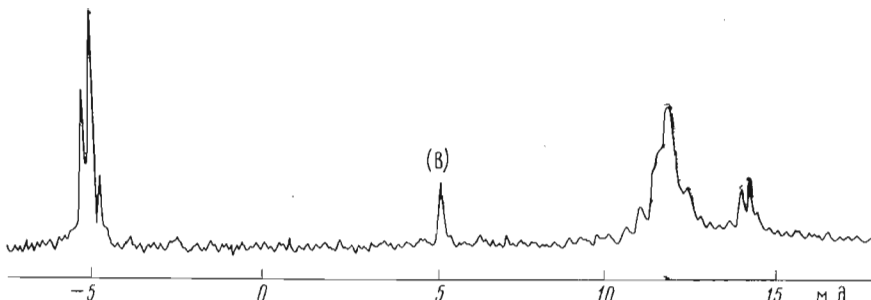


Рис. 4. Спектр  $^{31}\text{P}$ -ЯМР реакционной смеси, полученной при взаимодействии соединения (В) ( $0,08 \text{ M}$ ) со смесью 2, содержащей соединение (II) ( $0,07\text{M}$ ). Спектр записан через 2 ч.

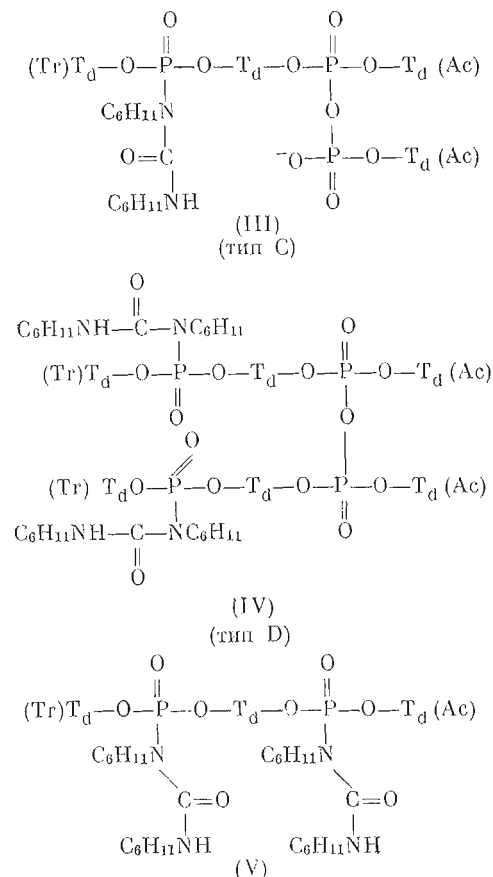
вины. Через 50 ч практически единственным продуктом гидролиза соединения (I), по данным  $^{31}\text{P}$ -ЯМР, хроматографии на бумаге и электрофореза, является исходный динуклеозидфосфат  $(\text{Tr})\text{T}_{\text{d}}\text{pT}_{\text{d}}(\text{Ac})$ . Таким образом, остаток дициклогексилмочевины может быть удален в мягких условиях, когда стабильны как межнуклеотидная связь, так и большинство защит, используемых для блокирования аминогрупп гетероциклических оснований и оксигрупп рибозы. Образующийся олигонуклеотид может быть после этого выделен обычными методами ионообменной хроматографии. При взаимодействии дициклогексилкарбодиимида с  $(\text{Tr})\text{T}_{\text{d}}\text{pT}_{\text{d}}$ , т. е. с динуклеозидфосфатом с незащищенной оксигруппой, в спектрах  $^{31}\text{P}$ -ЯМР регистрируются сигналы исходного  $(\text{Tr})\text{T}_{\text{d}}\text{pT}_{\text{d}}$  ( $\delta 1,3 \text{ м. д.}$ ), тетразамещенного пирофосфата (D) ( $\delta 13,8 \text{ м. д.}$ ) и N-(P-5'-O-тритилтимидин-P-тимидин-5')-fosфорил-N,N'-дициклогексилмочевины (II) ( $\delta -4,8$  и  $-5,2 \text{ м. д.}$ ). Через 20 ч соединение (II) становится главным (80%) продуктом реакции. Соединение (D) регистрируется в незначительном количестве (менее 15%).

Таким образом, наличие свободной оксигруппы нуклеозидного компонента не вносит существенных изменений в процесс блокирования межнуклеотидной фосфатной группы.

Для выяснения возможности использования соединения (II) в качестве нуклеозидного компонента было исследовано его взаимодействие с  $\text{pT}_{\text{d}}(\text{Ac})$  и  $\text{pT}_{\text{d}}\text{pT}_{\text{d}}(\text{Ac})$ . Реакция была проведена в двух вариантах. В первом варианте к реакционной смеси, содержащей 80% производного (II), 10%  $(\text{Tr})\text{T}_{\text{d}}\text{pT}_{\text{d}}$  и 10% тетразамещенного пирофосфата (D), а также непрореагировавший дициклогексилкарбодиимид и дициклогексилмочевину (смесь 2), добавляли активное производное нуклеотидного компонента (B), полученное при действии на него избытка триизопропилбензольсульфохлорида. Во втором варианте к смеси 2 добавляли нуклеотидный компонент, который реагировал с нуклеозидным компонентом за счет избытка дициклогексилкарбодиимида, присутствующего в смеси 2.

В первом варианте реакции в спектре  $^{31}\text{P}$ -ЯМР реакционной смеси наряду с сигналами соединений (II) и (B) появляются сложные сигналы в области 11–13 и 13–14 м. д., типичной для тризамещенных (типа C) и тетразамещенных (типа D) пирофосфатов соответственно (рис. 4) [3]. Кроме того, структура сигналов в области  $-5 \text{ м. д.}$  при этом усложняется (ср. рис. 1 и 4). Эти факты свидетельствуют о том, что в реакционной смеси присутствуют соединения, содержащие наряду с фосфорильной группировкой дициклогексилмочевины три- и тетразамещенные пирофосфатные фрагменты. Такими производными могут являться соединения (III) и (IV), подобные соединениям типа (C) и (D), образующимся при взаимодействии  $(\text{Tr})\text{T}_{\text{d}}$  с соединением (B) [1, 4, 9]. При длительном выдерживании реакционной смеси наблюдается увеличение интенсивности сигналов в области  $-5 \text{ м. д.}$  в 1,5 раза за 25 ч и происходит дальнейшее усложнение их структуры. Это указывает на появление новых блокированных межнуклео-

тидных фосфатных группировок, т. е. на образование соединения типа (V).



Обработка реакционной смеси водой приводит к образованию  $(\text{Tr})\text{T}_d\text{pT}_d\text{T}_d(\text{Ac})$  и  $\text{pT}_d(\text{Ac})$ . Выход тринуклеозиддифосфата (по нуклеозидному компоненту) составляет по данным  $^{31}\text{P}$ -ЯМР 85 %, по данным хроматографии на бумаге — 82 %.

При добавлении  $\text{pT}_d(\text{Ac})$  к смеси 2, содержащей соединение (II) и избыток дициклогексилкарбодиимида (вариант 2) в первый период реакции сигналы соединения (II) остаются без изменения и регистрируются стадии превращения мононуклеотида, обусловленные его реакцией с дициклогексилкарбодиимидалом. При этом образуется симметричный пирофосфат ( $\delta$  10,3 м. д.), тринуклеозидтрифосфат (дублет с центром при 11,5 м. д. и триплет с центром при 24,6 м. д. и  $J_{\text{P},\text{O},\text{P}}$  17,5 Гц) и регистрируется незначительное количество (5 %)  $\text{N}^1\text{-[P}^1,\text{P}^2\text{-бис-(3'-O-ацетилтиimidин-5')]-пирофосфорил-N}^1,\text{N}^2\text{-дициклогексилмочевины}$  (сигналы в области 5—6 и 11—12 м. д. [3]). Однако в спектре конечной реакционной смеси (60 ч) обнаруживаются лишь две группы сложных сигналов: в области —5 и 11—13 м. д. Наличие последних сигналов указывает на присутствие в реакционной смеси соединения с тризамещенной пирофосфатной группировкой. На основании полученных данных можно предположить, что главным конечным продуктом реакции в этих условиях является соединение (III).

Блокирование вновь образующейся межнуклеотидной группы, т. е. образование соединения (V), происходит в незначительной степени, что может быть связано с наличием в системе избытка нуклеотидного компонента. В работе [3] показано, что при взаимодействии  $(\text{Tr})\text{T}_d$  с избытком  $\text{pT}_d(\text{Ac})$  в присутствии дициклогексилкарбодиимида в качестве главного

продукта образуется тризамещенный пирофосфат (С), а не производное дициклогексилмочевины.

Обработка реакционной смеси водой приводит к образованию  $(Tr)T_{dp}T_d$  и  $pT_d(Ac)$ . Выход тринуклеозиддифосфата в расчете на нуклеозидный компонент составил 94 % по данным хроматографии на бумаге и практически количественный по данным  $^{31}P$ -ЯМР.

Далее было исследовано взаимодействие соединения (II) с динуклеотидом, предварительно активированным с помощью 4 эквивалентов триизопропилбензолсульфохлорида. В этом случае наблюдать за ходом реакции по появлению сигналов в области 10–14 м. д. не представляется возможным, так как в этой же области находятся сигналы активных форм динуклеотидов [2]. Интенсивность сигналов в области –5 м. д.

не изменяется, т. е. остаток дициклогексилмочевины сохраняется на протяжении всего синтеза олигонуклеотидов (20 ч). После 60 ч реакции смесь была разложена водой. В спектре, записанном через 26 ч после добавления воды (рис. 5), регистрируются сигналы с центром при 1,2 м. д. (сигнал фосфодиэфирных групп исходных  $(Tr)T_{dp}T_d$  и  $pT_d(Ac)$ ) и полученного  $(Tr)T_{dp}T_d pT_d(Ac)$ , а также сигнал с  $\delta = -0,7$  м. д. (сигнал концевого фосфата динуклеотида  $pT_d(Ac)$ ). Выход тетрануклеозидтрифосфата, по данным хроматографии на бумаге, в расчете на нуклеозидный компонент составил 80 %.

При добавлении к смеси 2 трехкратного избытка неактивированного  $pT_d(Ac)$  интенсивность сигналов в области –5 м. д. в спектрах реакционной смеси практически не изменяется. В начальные моменты реакции помимо сигналов исходного (II) и  $pT_d(Ac)$  регистрируются сигналы симметричного динуклеозидпирофосфата ( $\delta = 11$  м. д.), а также сигналы в области 12–14 м. д., которые могут быть отнесены к сигналам активных форм динуклеотида, согласно [2]. Здесь же могут быть сигналы образующихся соединений, имеющих три- или тетразамещенные пирофосфатные группировки. Спектр реакционной смеси после разложения водой в течение 30 ч при комнатной температуре аналогичен спектру рис. 5.

Выход  $(Tr)T_{dp}T_d pT_d(Ac)$ , по данным хроматографии на бумаге, относительно  $(Tr)T_{dp}T_d$  61 %.

Полученные результаты позволяют рассчитывать на использование обратимого блокирования фосфодиэфирных групп с помощью дициклогексилкарбодиимида для синтеза более длинных олигонуклеотидов.

### Экспериментальная часть

В работе использовали 5'-О-тритилтимидил-(3' → 5')-3'-О-ацетилтимидин [ $(Tr)T_{dp}T_d(Ac)$ ] [10], 3'-О-ацетилтимидин-5'-фосфат [ $pT_d(Ac)$ ] [10], 3'-О-ацетилтимидил-(5' → 3')-тимидин-5'-фосфат [ $pT_d(Ac)$ ] [5], переглянны над щелочью анилин, циклогексиламин, морфолин (препары марки х. ч.). В качестве конденсирующих реагентов использовали N,N'-дициклогексилкарбодиimid и триизопропилбензолсульфохлорид. Реакции проводили в пиридине, содержащем не более 0,05 % воды, который хранили над молекулярными ситами типа 4 Å. Для хроматографии ис-

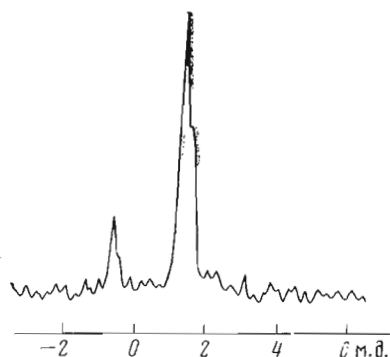


Рис. 5. Спектр  $^{31}P$ -ЯМР, записанный после гидролиза реакционной смеси, полученной при взаимодействии  $pT_d(Ac)$  (0,09М), предварительно активированным 4 эквивалентами триизопропилбензолсульфохлорида, со смесью 2, содержащей соединение (II) (0,04 М)

пользовали бумагу FN-1 и системы растворителей: этанол — 1М ацетат аммония ( $\text{pH}$  7,5), 5 : 2 (А), изопропанол — конц. аммиак — вода, 7 : 1 : 2 (Б).

Спектры  $^{31}\text{P}$ -ЯМР записывали на спектрометре НХ-90 с фурье-преобразованием на ЭВМ B-NC 12 (Bruker-Physic AG, ФРГ) на частоте 36,43 МГц. Химические сдвиги приведены в миллионных долях относительно 85 %-ной  $\text{H}_3\text{PO}_4$  как внешнего стандарта. Спектры записывали с гетероядерным давлением спин-спиновой связи  $^{31}\text{P}$ - $^{1}\text{H}$ . Диаметр используемой ампулы 10 мм, объем реакционной смеси 1,5 мл. Детали эксперимента описаны в работе [4]. Количественную обработку результатов проводили по интегральным кривым, принимая за 100 % сумму интегральных интенсивностей по всему спектру. Точность интегрирования 10 %.

Выход олигонуклеотидов в мольных процентах (в расчете на нуклеозидный компонент) по данным  $^{31}\text{P}$ -ЯМР определяли, сравнивая соотношение интенсивностей сигналов концевого и межнуклеотидных атомов фосфора, с учетом начальных загрузок нуклеотидного и нуклеозидного компонентов, а также количества атомов фосфора во всех олиго- и мононуклеотидах, присутствующих в реакционной смеси.

*N-(P-5'-O-Тритилтимидин-P-3'-O-ацетилтимидин-5')-фосфорил-N, N'-дициклогексилмочевина (I).* 0,15 ммоль ( $\text{Tr}$ ) $\text{T}_{\text{d}}\text{pT}_{\text{d}}(\text{Ac})$  растворили в 1 мл абсолютного пиридина и выдержали с 10-кратным избытком дициклогексилкарбодииамида в течение 50 ч при комнатной температуре. За ходом реакции следили по спектрам  $^{31}\text{P}$ -ЯМР (данные на рис. 1 и 2). Конечная реакционная смесь (смесь 1) содержала 98 % соединения (I) и 2 % ( $\text{Tr}$ ) $\text{T}_{\text{d}}\text{pT}_{\text{d}}(\text{Ac})$ .

*Гидролиз соединения (I).* К 1 мл смеси 1 добавили 0,2 мл  $\text{H}_2\text{O}$ . За ходом гидролиза следили по спектрам  $^{31}\text{P}$ -ЯМР (данные на рис. 3).

После 50 ч гидролиза реакционную смесь обработали концентрированным аммиаком в течение 3 ч с целью удаления ацетильной защиты. Анализ методом хроматографии на бумаге (системы А и Б) свидетельствовал о наличии только ( $\text{Tr}$ ) $\text{T}_{\text{d}}\text{pT}_{\text{d}}$ .

*Соединение (B)* получено по методике работы [7].

*N-(P-5'-O-Тритилтимидин-P-тимидин-5')-фосфорил-N,N'-дициклогексилмочевина (II).* 0,225 ммоль ( $\text{Tr}$ ) $\text{T}_{\text{d}}\text{pT}_{\text{d}}$  растворили в 1,5 мл пиридина и выдержали с 10-кратным избытком дициклогексилкарбодииамида в течение 50 ч при комнатной температуре. За ходом реакции следили по спектрам  $^{31}\text{P}$ -ЯМР. Конечная реакционная смесь (смесь 2) состояла из 80 % соединения (II), 10 % ( $\text{Tr}$ ) $\text{T}_{\text{d}}\text{pT}_{\text{d}}$  и 10 % соединения (D).

*Взаимодействие соединения (II) с соединением (B).* К 1,2 мл смеси 2, содержащей 0,12 ммоль соединения (II), добавили 0,65 мл 0,23 М пиридинового раствора соединения (B) и выдержали в течение 20 ч при комнатной температуре. За ходом реакции следили по спектрам  $^{31}\text{P}$ -ЯМР. Для разложения реакционной смеси добавляли воду (0,1 мл) и выдерживали смесь в течение 30 ч. По данным  $^{31}\text{P}$ -ЯМР, выход ( $\text{Tr}$ ) $\text{T}_{\text{d}}\text{pT}_{\text{d}}\text{pT}_{\text{d}}(\text{Ac})$  составил 85 %. После удаления ацетильной защиты аммиаком реакционную смесь анализировали методом хроматографии на бумаге в системах А и Б. Значения  $R_f$  приведены в табл. 2. Выход ( $\text{Tr}$ ) $\text{T}_{\text{d}}\text{pT}_{\text{d}}\text{pT}_{\text{d}}$ , рассчитанный по оптической плотности элюятов соответствующих соединений и принятых коэффициентов экстинкции, согласно [10] составлял 82 % (ε для  $\text{pT}_{\text{d}}$  — 9600, ( $\text{Tr}$ ) $\text{T}_{\text{d}}\text{pT}_{\text{d}}$  — 18 500, ( $\text{Tr}$ ) $\text{T}_{\text{d}}\text{pT}_{\text{d}}\text{pT}_{\text{d}}$  — 25 800).

*Взаимодействие соединения (II) с  $\text{pT}_{\text{d}}(\text{Ac})$ .* К 1,2 мл смеси 2, содержащей 0,05 ммоль соединения (II), добавили 0,135 ммоль  $\text{pT}_{\text{d}}(\text{Ac})$  и реакционную смесь выдержали при комнатной температуре в течение 60 ч. Контроль за ходом реакции и анализ конечных продуктов проводили аналогично предыдущей методике. Выход ( $\text{Tr}$ ) $\text{T}_{\text{d}}\text{pT}_{\text{d}}\text{pT}_{\text{d}}$  по данным  $^{31}\text{P}$ -ЯМР близок к количественному, по данным хроматографии на бумаге — 94 %.

*Активация  $\text{pT}_{\text{d}}\text{pT}_{\text{d}}(\text{Ac})$  с помощью триизопропилбензольсульфонида.* 0,13 ммоль  $\text{pT}_{\text{d}}\text{pT}_{\text{d}}(\text{Ac})$  растворили в 0,4 мл пиридина, добавили 0,52 ммоль

триизопропилбензолсульфохлорида и выдержали при комнатной температуре в течение 2 ч.

*Взаимодействие соединения (II) с  $pT_d pT_a(Ac)$ , активированным триизопропилбензолсульфохлоридом.* К 1 мл смеси 2, содержащей 0,04 ммоль соединения (II), добавили 0,4 мл 0,32 М пиридиниевого раствора смеси активных форм  $pT_d pT_a(Ac)$  и выдержали 60 ч. Контроль за ходом реакции, анализ и разложение реакционной смеси проводили как указано выше.

Таблица 2

Значения  $R_f$  исследуемых соединений

Соединение	$R_f$ в системах		Соединение	$R_f$ в системах	
	А	Б		А	Б
$pT_d$	0,33	0,17	$(Tr)T_d pT_d pT_d$	0,76	0,58
$pT_d pT_d$	0,22	0,43	$(Tr)T_d pT_d pT_d pT_d$	0,68	0,48
$(Tr)T_d pT_d$	0,85	0,77			

Значения  $R_f$  приведены в табл. 2. Спектр  $^{31}P$ -ЯМР конечной реакционной смеси дан на рис. 5. Выход  $(Tr)T_d pT_d pT_d pT_d$ , согласно хроматографии на бумаге, составил 80 %.

*Взаимодействие соединения (II) с  $pT_d pT_d(Ac)$ .* К 1,2 мл смеси 2, содержащей 0,05 ммоль соединения (II), добавили 0,14 ммоль  $pT_d pT_d(Ac)$  и реакционную смесь выдержали 65 ч. Контроль за ходом реакции, разложение реакционной смеси и анализ конечных продуктов проводили как указано выше. Значения  $R_f$  приведены в табл. 2. Выход  $(Tr)T_d pT_d pT_d pT_d$ , по данным хроматографии на бумаге, 61 %.

ЛИТЕРАТУРА

- Knorre D. G., Lebedev A. V., Levina A. S., Rezvukhin A. I., Zarytova V. F. (1974) *Tetrahedron* 30, 3073—3079.
- Бадашкеева А. Г., Зарытова В. Ф., Кнорре Д. Г., Лебедев А. В., Шубина Т. Н. (1975) *Докл. АН СССР*, 222, 97—100.
- Зарытова В. Ф., Иванова Е. М., Лебедев А. В. (1976) *Биоорганическая химия*, 2, 189—198.
- Зарытова В. Ф., Кнорре Д. Г., Лебедев А. В., Левина А. С., Резвухин А. И. (1974) *Изв. Сиб. отд. АН СССР. Сер. хим. н.*, № 7, вып. 3, 126—131.
- Kössel H., Moon M. W., Khorana H. G. (1967) *J. Amer. Chem. Soc.*, 89, 2148—2154.
- Knorre D. G., Zarytova V. F. (1974) *Recent developments in oligonucleotide synthesis and Chemistry of minor bases of tRNA*, Poznan, 89—124.
- Зарытова В. Ф., Кнорре Д. Г., Лебедев А. В., Левина А. С., Резвухин А. И. (1975) *Изв. Сиб. отд. АН СССР. Сер. хим. н.*, № 4, вып. 2, 139—149.
- Лебедев А. В., Резвухин А. И. (1975) *Изв. Сиб. отд. АН СССР. Сер. хим. н.*, № 4, вып. 2, 149—154.
- Зарытова В. Ф., Кнорре Д. Г., Лебедев А. В., Левина А. С., Резвухин А. И. (1974) *Изв. Сиб. отд. АН СССР. Сер. хим. н.*, № 7, вып. 3, 121—125.
- Gilham R. T., Khorana H. G. (1958) *J. Amer. Chem. Soc.*, 80, 6212—6222.

Поступила в редакцию  
9.III.1976

REVERSIBLE BLOCKING OF PHOSPHODIESTER GROUPS THROUGH THE USE  
OF DICYCLOHEXYLCARBODIIMIDE

ZARYTOVA V. F., IVANOVA E. M., LEBEDEV A. V.

*Institute of Organic Chemistry, Siberian Branch of the  
Academy of Sciences of the USSR, Novosibirsk*

The conversion of  $(Tr)T_d pT_d(Ac)$  and  $(Tr)T_d pT_d$  into N-(P-5'-O-tritylthymidine-P-3'-O-acetylthymidine-5')-phosphoryldicyclohexylurea (I) and N-(P-5'-O-tritylthymidine-P-thymidine-5')-phosphoryldicyclohexylurea (II), respectively, in the presence of the excess of dicyclohexylcarbodiimide (DCC) was demonstrated by means of pulsed  $^{31}P$ -NMR spectroscopy. The stability of I and II was investigated under the conditions of oligonucleotide synthesis. The dicyclohexylurea residue could be readily removed under mild conditions. The compound II was used as a nucleoside component in the reaction with  $pT_d(Ac)$  and  $pT_d pT_d(Ac)$  in the presence of DCC excess, as well as in the reaction with  $pT_d(Ac)$  and  $pT_d pT_d(Ac)$ , which were preliminary activated by triisopropylbenzenesulphonyl chloride.  $(Tr)T_d pT_d pT_d(Ac)$  and  $(Tr)T_d pT_d pT_d pT_d(Ac)$  were obtained in a good yield (70-90%).

---